コバルト- 炭素ナノクラスターの構造解析

(分子研·愛教大) 〇小杉健太郎, 日野和之, J. Bushiri, 西信之, 横山利彦

【はじめに】 マグネシウムやカルシウム等の 2 (IIA) 族元素の陽イオンと C_2^2 -からなるイオン性結晶(アセチリド化合物)の存在は古くから知られてきたが,詳細な X 線構造解析を行うに充分なサイズ及び純度の結晶を得ることが困難であるため,現在に至るまで,合成方法の改良とともに結晶構造・相転移に関する研究が続けられている.これらの 2 (IIA) 族元素アセチリド化合物は,陽・陰イオンともに閉核の系であるため,物性研究の観点からはそれほど興味深い対象ではない.しかし,d軌道にスピンをもつ遷移金属元素アセチリド化合物(MC_2)の結晶を作ることができれば,これはこれまでにない興味深い物性(特に磁性)を持つのではないかと,我々は考えた. MC_2 モノマーの存在はLiらによって確認されている[1].彼らは,真空装置中の MC_2 -(M=Sc, V, Cr, Mn, Fe, Co)の光電子スペクトルにおいて各 MC_2 の電子状態及びM-C伸縮振動を観測し, MC_2 がイオン性結合により形成されていることを明らかにした.

最近我々は,種々の方法で MC_2 ナノ結晶の合成及び構造解析を試みている.本講演では, CoC_2 のナノ結晶の構造について報告する.

【合成】 テトラコバルトドデカカルボニル($Co_4(CO)_{12}$)のジクロロメタン溶液を原料として熱合成を行った。反応溶液を入れた反応管を高圧反応容器内で徐々に加熱し、最終的に200 $^{\circ}$ $^{\circ}$ (圧力25atm)まで熱した。反応後、反応管内部の溶液相には塩酸が含まれていた。これを取り除いた後、壁面の層状付着物から副生成物(塩化コバルト)を分離して生成物を得た。

【結果】透過型電子顕微鏡 (TEM) による像観察から, 生成物中でコバルト原子は, 平均粒子直径は12nm ナノ微粒子内に集合していることが判った. ナノ微粒子及びマトリックス部分, それぞれに電子線を 照射して電子エネルギー損失分光法 (EELS) によってスペクトルを観測した. これらのスペクトルに おいて、酸素のバンドは観測されなかった. 粒子部分のスペクトルには、コバルトのCo-L2,3バンドが 781及び796eVに、炭素のC-Kバンドが292eVに観測された. コバルト金属のナノ粒子の場合、Co-L2バン ドは778.5に観測されており、これとは異なっている. C-Kバンドには、炭素のK殻からπ*軌道、及び σ^* 軌道への遷移, それぞれに起因するピークが観測される. 微粒子部分のC-Kバンドでは, σ^* 軌道へ の遷移(292eV)に対するπ*軌道への遷移(285eV)の相対強度がグラファイト並みの大きさであり、 このことは粒子内部では大部分の炭素がspあるいはsp²混成軌道を持つことを示している.マトリック ス部分のスペクトルには, 炭素のバンド (C-Kバンド: 293eV) のみしか観測されなかった. このC-Kバ ンドはアモルファスカーボンのものと類似している. 微粒子部分とマトリックス部分のC-Kバンドの強 度比較から、微粒子部分ではコバルトと炭素の体積比は1対1程度であると考えられる.一方、XANES によって,コバルトは2価の陽イオンであることが判った.また,赤外スペクトルにおいて1490cm⁻¹ 及び1415cm⁻¹に観測されたバンドは, CaC₂のバンド (1488cm⁻¹及び1417cm⁻¹) に良く対応しており, C₂²⁻ の伸縮振動に帰属される. 以上の観測結果は、アモルファスカーボンのマトリックス内に、平均直系 が12nmのCoC。微粒子が分布しているという描像を示している.

コバルトのK吸収端EXAFS信号のフーリエ変換を図1に示す. ただし, 横軸は位相シフトを考慮して

いない値である. 原子間距離約3.1Å及び2.1Å に対応する強いピークが観測された. 金属コバ ルトにおけるコバルトーコバルト間距離は2.5 Åであるが、これに相当するピークは観測され なかった. また、酸化コバルトのパターンとも 大きく異なっている. 第一配位圏の2.1Åという 原子間距離はコバルトと炭素等の軽元素間の距 離に相当する. しかし, 軽元素による散乱に起 因する第一配位圏が最近接のコバルトによる第 二配位圏より強いことを一種類のモデルで解釈 するのが困難であること、及び、赤外スペクト ルに水のバンドが観測されており、水和コバル トにおけるCo-0間の距離がほぼ2.1Åであるこ とから, 第二配位圏以遠を重視してモデルを探 した. その結果, 実測したEXAFS信号のフーリエ 変換に良く対応する計算値を与えるモデルが見 つかった、モデルの単位胞を図2に示す、ただ し、Co原子が中心に位置するように、実際の単位 胞をc軸方向にシフト(0,0,0.5)させて描いて いる. またこれを用いて計算したEXAFS信号のフ ーリエ変換を図1に示す. 実測値に比べて計算で 得られた遠距離のピーク強度は大きいが、これは ナノ粒子等の結晶サイズが小さい系では一般的 な傾向である. モデルはMgC,の結晶構造類似の正 方晶系である. a軸が3.85Å, c軸が3.36Åという 3.36Å c軸方向に押しつぶされたような形をしているが, これはすべてのC-C結合がc軸に垂直な面内に存 在するためである. コバルトに最近接のC₂2-は, c 軸方向からπ軌道をコバルトに向けて配向する.

このことは、Arbuznikovらが CoC_2 モノマーについて 図 2. で行った密度汎関数計算[2]において、dー π 相互作用的な C_2 、構造が 最安定であったことと対応していると考えられる。つまり、この結晶モデルは、d- π 相互作用により形成された CoC_2 ワイヤーの束と しての性質を持つのでないかと思われる。この点について、今後、分子軌道計算及びバンド計算を用いた電子状態の研究によって明らかにしていきたい。

[1] X. Li and L. S. Wang, J. Chem. Phys., 111, 8389, (1999).

[2] A. V. Arbuznikov and M. Hendrickx, Chem. Phys. Lett., **320**, 575, (2000).

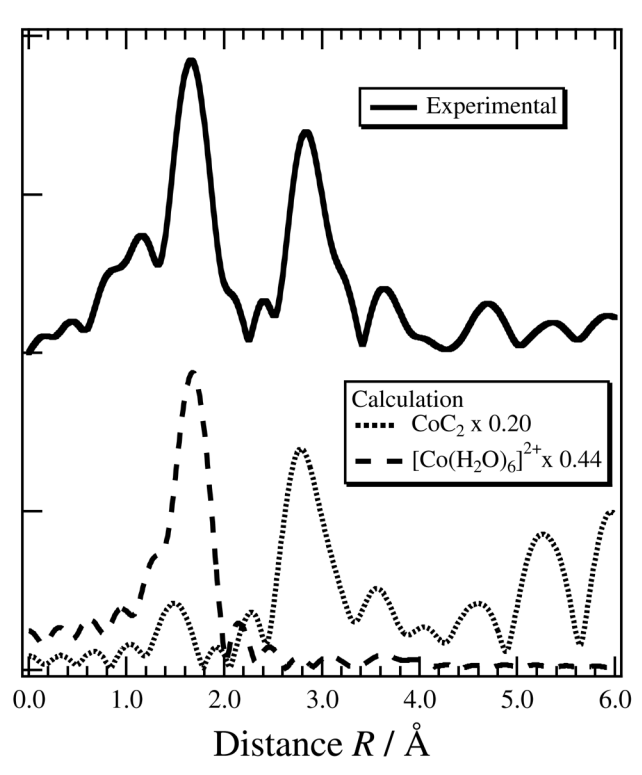


図1. EXAFS のフーリエ変換

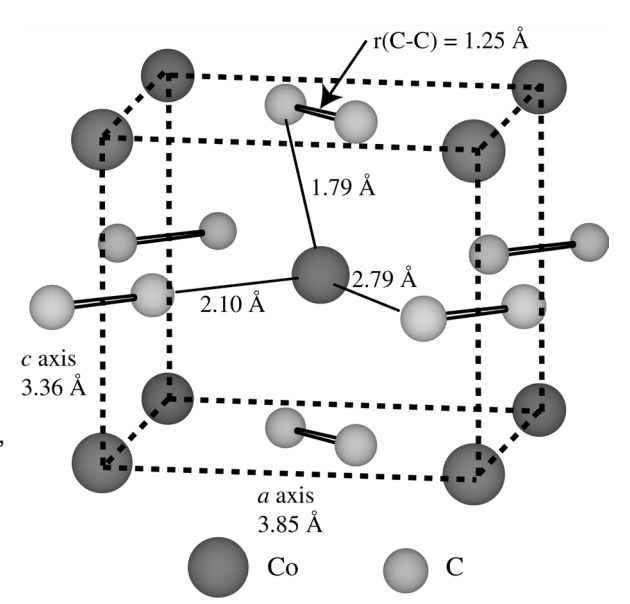


図2. CoC₂の結晶構造モデル

表1. 結晶モデルのパラメータ

	CoC ₂
空間群	正方晶系
	P4 ₂ /mnm
a /Å	3.85
c /Å	3.36
V / $Å^3$	49.8
Z	2
密度 /g cm ⁻³	5.53